



中等专业学校教学用书

无线电发送设备

(下册)

原编者：重庆邮电学院发送教研组郑吉申
审校者：邮电学院无线电发送设备教材选编组

人民邮电出版社

中等专业学校教学用书

无 線 电 发 送 設 备

(下 册)

原編者：重庆邮电学院发送教研組 郑 吉 申

审校者：邮电学院无線电发送設備教材选編組

人 民 邮 电 出 版 社

1 9 6 2

内 容 提 要

本书是按照邮电部中等专业学校无线电通信专业的“无线电发送设备”教学大纲（1962年修订草案）编写的。

本书主要讨论无线电发送设备中高频振荡的产生与放大的基本理论、电路图、调谐、调整等操作方法、基本计算等，内容适合中专学生在数学、电工、电子管与无线电基础等方面水平，并注意物理概念的阐述和电路图、工作原理、理论计算、实际操作等之间的有机联系。

本书各章均附有复习思考题和习题。

本书可作电信中等专业学校无线电发送设备课程的教学用书，也可供维护和设计无线电发送设备的技术人员参考。

无线电发送设备（下册）

原编者：重庆邮电学院发送教研组 郑吉申

审校者：邮电学院无线电发送设备教材选编组

出版者：人民邮电出版社

北京东四6条13号

（北京市新华书店总店可订出字第④八号）

印刷者：北京市印刷一厂

发行者：人民邮电出版社

开本 787×1092 1/32 1963年1月北京第一版

印张 7 25/32 真数 125 1963年2月北京第一次印刷

印刷字数 182,000 字 印数 1—2,500 册

统一书号：K 15045·总1327·无347

定价：(9) 1.10 元

目 录

第十一章 楞极調幅

§ 1. 調幅的基本概念	1
1. 各種調幅方法簡介	1
2. 已調幅波的分析	3
3. 無線電話發射波所占的頻帶	6
4. 調幅時被調發生器的功率	7
5. 調幅特性曲線的概念	10
§ 2. 楷偏壓調幅原理	11
1. 楷偏壓調幅的意義與原理圖	11
2. 調幅的可能性	12
3. 靜態調幅特性曲線與不失真調幅的條件	14
§ 3. 楷偏壓調幅電路	14
§ 4. 楷偏壓調幅時的被調發生器	17
1. 功率平衡關係	17
2. 被調發生器的計算	20
§ 5. 楷偏壓調幅時調幅器與激勵器的功率	25
1. 被調發生器楷流脈衝的分析	25
2. 楷極電路內的功率平衡關係	27
§ 6. 已調波放大器	32
1. 已調波放大的需要	32
2. 已調波放大器的分析	32
§ 7. 抑制楷調幅的概念	38
复习思考題	43
习題	44

第十二章 板极調幅

§ 1. 板极調幅原理与被調发生器的分析	44
1. 調幅的可能性.....	45
2. 深調幅的可能性.....	47
3. 被調发生器工作状态的选择.....	48
§ 2. 关于調幅特性曲線的討論	49
1. 負載特性曲线的計算和繪制.....	49
2. 調幅特性曲线的繪制.....	51
3. 关于調幅特性曲线的直线性.....	53
4. 采用自生柵偏压的好处.....	54
§ 3. 板极調幅的計算	55
1. 板极电路的功率平衡关系.....	55
2. 被調发生器电子管的选择.....	59
3. 被調发生器工作状态的計算.....	60
§ 4. 板极調幅电路	64
1. 扼流圈耦合的电路.....	64
2. 电阻耦合的电路.....	66
3. 具有調幅变压器的电路.....	66
4. 調幅器的計算.....	68
§ 5. 柵偏压調幅与板极調幅的比較	75
§ 6. 多极管調幅	79
§ 7. 自动板調的概念	83

第十三章 单边带发送

§ 1. 单边带发送及其优缺点	86
1. 什么是单边带发送.....	86
2. 单边带发送的优缺点.....	88

§ 2. 单边带的获得	91
1. 平衡調幅器及其对載頻的抑止	91
2. 用頻帶濾波器直接濾去一个邊帶的困難	96
3. 用“重複平衡調幅法”抑止一个邊帶	97
4. 获得单边带的其它方法简介	99
§ 3. 单边带系統的技术要求和引領信号	103
1. 单边带系統中的技术要求	103
2. 引領信号法的概念	104
§ 4. 典型单边带发射机方框图举例及其运用特点	106

第十四章 調 頻

§ 1. 調頻原理	111
1. 調頻的意义	111
2. 已調頻波的表示式	112
3. 已調頻波的頻譜、頻帶和矢量圖	114
§ 2. 調頻的优缺点	121
§ 3. 調相及其与調頻的比較	128
1. 調相的意义	128
2. 已調相波的表示式、頻譜、頻帶和矢量圖	128
3. 調頻与調相的比較	129
4. 調相电路的方框图	133
§ 4. 調頻的电路	135
1. 間接調頻法及其优缺点	135
2. 电抗管电路的工作原理	138
3. 直接調頻电路及其优缺点	141

第十五章 无 线 电 报

§ 1. 电报信号鍵控的方法	148
----------------------	-----

§ 2. 断续键控的各种电路	150
1. 键控级的选择	150
2. 各种键控电路的分析和举例	150
§ 3. 移频键控的方法	157
1. 对于移频键控电路的要求	157
2. 获得移频电报的方法	157
3. 双路移频的概念	161
§ 4. 无线电报所占的频带	163
1. 莫尔斯符号及其矩形波的分析	164
2. 等幅电报所占的频带	165
3. 调幅电报所占的频带	166
4. 移频电报所占的频带	167
§ 5. 电报信号的失真	172

第十六章 典型发射机

§ 1. 概述	180
§ 2. 电路分析	183
1. 电源部分	183
2. 射频部分	186
3. 音频部分	189
4. 控制电路	191
§ 3. 维护与检修	202
1. 维护注意事项	203
2. 定期检修	203
3. 故障修理	206

第十七章 多级发射机的设计与元件计算

§ 1. 现代发射机的技术指标	210
-----------------------	-----

1. 电气方面的技术指标.....	212
2. 电声方面的技术指标.....	213
3. 结构和使用方面的要求.....	214
§ 2. 发射机方框图的组成.....	215
1. 多级线路的必要性.....	215
2. 级数的选择.....	215
3. 拟制方框图的方法.....	217
§ 3. 发射机分波段的划分.....	222
§ 4. 发射机原理图的拟制和技术计算.....	227
§ 5. 回路元件的结构计算.....	228
1. 波段发射机的调谐方法.....	228
2. 回路电容量和电感量的决定.....	231
3. 空气可变电容器的结构计算.....	232
4. 线圈的结构计算.....	236
参考书目	240
附录Ⅳ 贝塞尔函数.....	241

第十一章 檢極調幅

在以前各章中，我們分析了如何得到高頻電流以及如何將高頻電流輸送到發射系統（即天綫）上去，這是發射機的首要任務。但是，要使一個無線電路能够完成通信任務，還必須使高頻電流反映出所傳遞的信號。也就是說，還必須用某種方法將所要傳遞的信號“記載”在高頻電流上。這是我們在緒論中提到的發射機的另一重要任務。在發射機中，就是按照信號改變高頻電流的參數，這個過程叫做調制。

可以擬定三種不同的調制方法；即按照信號，改變高頻電流的振幅、頻率或相位，它們依次稱為調幅、調頻和調相。

本章及下章專門討論調幅，至于調頻和調相將在第十四章中討論到。

§ 1. 調幅的基本概念

1. 各種調幅方法簡介

既然我們說，所謂調幅就是按照信號改變高頻電流振幅的調制方法。那麼怎樣使高頻電流的振幅隨着信號電壓的改變而改變呢？換句話說，怎樣實現調幅呢？

有三種方法：

- (1) 變化高頻迴路中的電阻（稱為“吸收法”）。
- (2) 變動調諧迴路元件的數值，例如改變電感（稱為“失諧法”）。
- (3) 變動發生器電子管某一個極的電壓。

第一個無線電話發射機，採用的就是“吸收法”。微音器直接接在天

线圈路中，如图 11-1 所示。图中， M 为微音器， Γ 为接成传导反饋的高頻振盪器，采用简单輸出电路。音頻使微音器 M 的电阻发生变化，从而使整个高頻迴路的总电阻发生变化，高頻电流的振幅也就随着发生变化，实现了調幅。

在这种电路中，由于接进了随音頻电压而变化的电阻（微音器的电阻），这个电阻要消耗能量，所以称为“吸收法”。

吸收法的缺点是：約有振盪功率的一半消耗在微音器中，而一般微音器所能吸收的功率有限，約仅数瓦，因此，发射机功率无法加大。

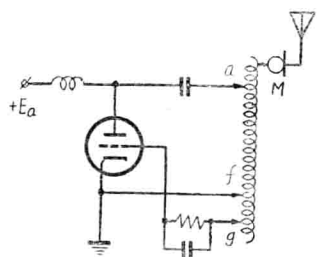


图 11-1 吸收法

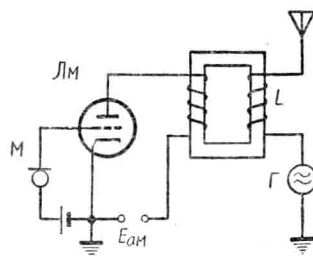


图 11-2 失諧法

高頻发电机的发射机，曾采用失諧法来实现調幅，如图 11-2 所示。图中， J_M 为音頻放大器（在这里，也称調幅器）， Γ 为高頻发生器，鐵芯电感 L 串接在天线迴路中，作为天线迴路元件之一。如图，微音器 M 控制調幅器 J_M 的板流，这个受控制的板流用来磁化电感 L 的鐵芯，于是 L 的电感量隨鐵芯的磁化程度而变化，使天线迴路的阻抗发生变化，从而引起高頻电流振幅的变化，实现了調幅。

这种电路的缺点是：线圈鐵芯中損耗很大，以及不能得到深的調幅等。

目前普遍应用的方法是变动发生器电子管某一个极的电压的方法。为了調幅而受到改变的电压，称为“調制因素”，用 E 来表示。由于調制因素的不同，調幅可分为下列五种：(1) 楞偏压調幅；(2) 板极調幅；(3) 帘栅极調幅；(4) 抑制帘极調幅；

(5) 板极——帘栅极調幅。它們的調幅因素依次为檻偏压 E_g 、板压 E_a 、帘栅压 E_{g2} 、抑制檻压 E_{g3} 、板压 E_a 与帘栅压 E_{g2} 。这几种調幅的方法，我們将在本章和下章中陸續討論到。

2. 已調幅波的分析

众所周知，語言和音乐是各种不同振幅及頻率的复杂声頻振盪，其頻率从 30~50 赫到 10,000 赫或者再高一点。但是为了简单起見，我們不妨只分析其中某一个单一音頻 F 的电压对頻率为 f 的高頻振盪进行調幅时的情况。掌握了这种情况，也就掌握了各种声頻电压对高頻振盪进行調幅时的情况。

頻率为 f (角頻率为 $\omega = 2\pi f$) 的高頻电流的表示式为

$$i = I \cos \omega t \quad (11-1)$$

調幅时，这个电流的振幅 I ，将由于音頻电压 (角頻率为 $\Omega = 2\pi F$) 的作用，而按音頻电压的变化規律变化。

所以， $I = I_T + I_1 \cos \Omega t \quad (11-2)$

式中： I_T 表示沒有音頻电压控制时的高頻电流振幅； $I_1 \cos \Omega t$ 表示受音頻电压控制后所引起的高頻电流振幅的变动量， I_1 是这个变动量的幅度。

如果令比值 $\frac{I_1}{I_T}$ 为 m ，那么式(11-2)可以化成

$$I = I_T (1 + m \cos \Omega t) \quad (11-3)$$

我們称 m 为調幅系数 (或称調幅度，幅度調制系数)，它表示高頻电流振幅的最大变动量占未調幅时高頻电流振幅的百分比。显然，音頻电压的控制作用越强，例如音頻电压的振幅越大，那么高頻电流振幅的最大变动量越大，则調幅系数 m 越大 (可稱調幅越深)，接收机得到的話音就越响。

图 11-3 中分別画出了不同調幅系数 m 值时已調幅波的波

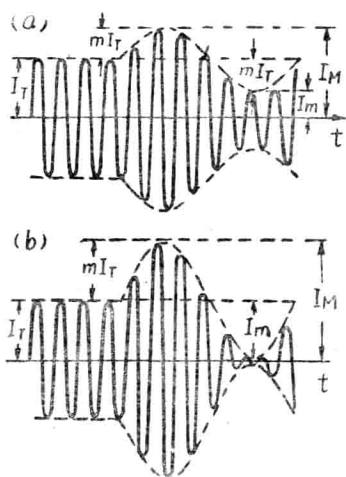


图 11-3 不同调幅系数时的已调幅波

$$i = I_T \cos \omega t + m I_T \cos \omega t \cos \Omega t$$

$$= I_T \cos \omega t + \frac{m}{2} I_T \cdot 2 \cos \omega t \cos \Omega t$$

考虑到三角公式

$$2 \cos \omega t \cos \Omega t = \cos(\omega + \Omega)t + \cos(\omega - \Omega)t$$

于是，已调幅波的表示式又可以改写成

$$i = I_T \cos \omega t + \frac{m I_T}{2} \cos(\omega + \Omega)t + \frac{m I_T}{2} \cos(\omega - \Omega)t \quad (11-5)$$

由式(11-5)可以得出结论：当频率为 F (角频率为 Ω) 的音频电压对频率为 f (角频率为 ω) 的高频振盪进行调幅时，已调幅波可以看成是由频率为 f 、 $f + F$ 、 $f - F$ (角频率分别为 ω 、 $\omega + \Omega$ 、 $\omega - \Omega$) 的三个振盪组成。其中： f 称为载频； $f + F$ 、 $f - F$ 分别称为上、下旁频。上、下旁频的幅度各为载频幅度 I_T 的 $\frac{m}{2}$ 倍。

形。各图左侧表示未调幅时的波形。已调幅波的包迹(图中用虚线表示)的形状，正是用来调幅的音频电压的波形。由图，可见 $m \leq 1$ 是保证不失真调幅的条件之一。 $m > 1$ 时的失真称为“过调幅”。

将式(11-3)代入式(11-1)，即得已调幅波表示式，

$$i = I_T (1 + m \cos \Omega t) \cos \omega t \quad (11-4)$$

展开后为

用矢量图来表示已调幅波的表示式，可以帮助我们更清晰地掌握已调幅波的概念。

如图 11-4 (a) 所示：载频矢量，上、下旁频矢量分别以 I_T, I'_1, I''_1 来表示。它们分别以 $\omega, \omega + \varOmega, \omega - \varOmega$ 的角速度逆钟向旋转。

$$|I'_1| = |I''_1| = \frac{m}{2} I_T \quad (11-6)$$

这三个矢量在起始位置，即 $t=0$ 时，是同相的。这时电流的振幅最大

$$I = I_M = (1+m) I_T \quad (11-7)$$

但是，在其它各瞬间，电流的振幅不易直接从图 11-4 (a) 看出。

如果把载频矢量和上、下旁频矢量画在一个逆钟向旋转的平面上，这个平面旋转的角速度和载频矢量旋转的角速度一样也是 ω ，那么，相对看来，载频矢量 I_T 就宛如不动；上旁频矢量 I'_1 的角速度 $\omega + \varOmega$ 比 ω 快，这时宛如以角速度 \varOmega 逆钟向旋转；下旁频矢量 I''_1 的角速度 $\omega - \varOmega$ 比 ω 慢，这时却宛如以角速度 \varOmega 顺钟向旋转，如图 11-4 (b) 所示。图中并把旁频矢量与载频矢量画成首尾相接。

这样，由于这三个矢量的起始位置同相，而上、下旁频在

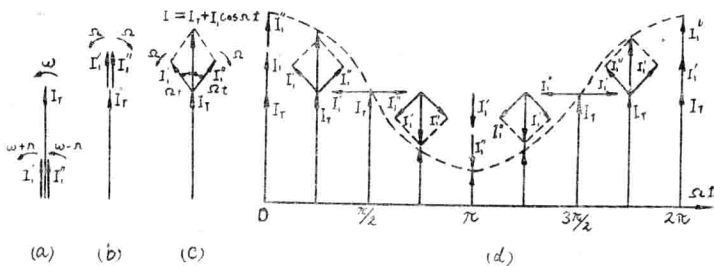


图 11-4 已调幅波的矢量图

图11-4 (b) 中角速度相同，方向相反，则任一瞬間，两旁頻矢量的位置对称，如图 11-4 (c) 所示，于是，两个旁頻矢量的和（称为調幅矢量）总是与載頻矢量同相或反相。因此，載頻矢量与两个旁頻矢量的和（称为被調幅矢量）就只有大小的变化，而沒有相位的偏移。图 11-4 (d) 表示各瞬間的振幅 I 的变化情况，它的变化范围从 $I_m = (1+m) I_T$ 到 $I_m = (1-m) I_T$ 。当 $m=1$ 时，则从 $I_m = 2I_T$ 到 $I_m = 0$ 。图11-4 (d) 中的虚綫就是各瞬間振幅变化的包跡，它正是按照音頻电压的变化規律而变化的。

3. 无线电话发射波所占的频带

由上述，被音頻为 F 的电压所調幅的載頻为 f 的已調幅波，其旁頻为 $f+F$ 和 $f-F$ 。这样，当音頻为較低的頻率 F_H 时，其旁頻为 $f+F_H$ 和 $f-F_H$ ；而当音頻为較高的頻率 F_B 时，其旁頻为 $f+F_B$ 和 $f-F_B$ 。因此，当音頻为 $F_H \sim F_B$ 范圍內一系列頻率时，已調幅波就有两个边帶：一个边帶的范围是 $(f+F_H) \sim (f+F_B)$ ，称为上边帶；另一个边帶的范围是 $(f-F_B) \sim (f-F_H)$ ，称为下边帶。如图 11-5 所示。

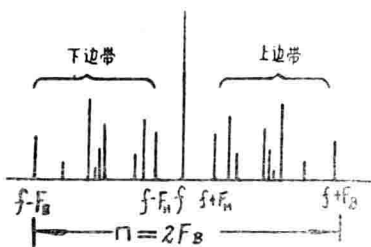


图 11-5 无线电话发射波的频带

由图 11-5，可見頻帶寬度为

$$\Delta = (f + F_B) - (f - F_B)$$

所以，

$$\Delta = 2F_B \quad (11-8)$$

即无线电话发射波所占的频帶是最高調幅音頻頻率的兩倍。

例如：載頻 $f = 6$ 兆赫，音頻調幅电压的頻率范围是

$F_H \sim F_B = 300 \sim 4,000$ 赫时，已調幅波的上邊帶的範圍就是 6000.3~6004 千赫；下邊帶的範圍則為 5996~5999.7 千赫。頻帶寬度是 8,000 赫。

為了使無線電話發射台不產生相互間的干擾，必須使它們的邊帶不相重合。在兩台使用的最高音頻 F_B 相同時，兩台載頻的間隔也應該至少是 $2F_B$ 。通常通信用無線電話台的調幅電壓的頻率限制在 3000 赫以下，所以兩台的載頻就應相隔 6,000 赫。

4. 調幅時被調發生器的功率

在發射機中，被音頻電壓所調幅，從而產生已調振盪的他勵發生器（或少數小機器的自勵發生器）稱為被調發生器或被調級。

在被調發生器中，高頻電流的振幅是變化的，所以功率也相應地變化。

沒有進行調幅時，高頻電流的振幅是 I_T ，這時的振盪功率 $\frac{I_T^2 R}{2}$ 稱為載頻功率（ R 是高頻電流 I 所流過的電阻），用 $P_{\sim T}$ 表示。通常提到無線電話台的功率就是指載頻功率。

在調幅過程中，當高頻電流的振幅最大時， $I_M = (1+m) I_T$ ，這時的功率稱為最大狀態的振盪功率，用 $P_{\sim M}$ 來表示。由於功率和電流的平方成正比，所以最大狀態的振盪功率和載頻功率之間有下列關係，

$$P_{\sim M} = (1+m)^2 P_{\sim T} \quad (11-9)$$

在調幅過程中，當高頻電流的振幅最小時， $I_m = (1-m) I_T$ ，這時的振盪功率稱為最小狀態的振盪功率，用 $P_{\sim m}$ 表示。顯然，它和載頻功率之間有下列關係，

$$P_{\sim m} = (1-m)^2 P_{\sim T} \quad (11-10)$$

由上述, $m=1$ 时, $I_M=2I_T$, $I_m=0$, 这时,

$$P_{\sim M}=4P_{\sim T} \quad (11-11)$$

$$P_{\sim m}=0 \quad (11-12)$$

通常, 根据最大状态的振盪功率来选择被調发生器的电子管。

現在我們要問: 既然在音頻变化一周的过程中, 高頻各周期的功率是变化的, 那么平均功率是多少呢?

我們当然可以由下列积分式, 将高頻各周期的功率总加起来求平均功率 (通常又称電話功率) $P_{\sim cp}$,

$$P_{\sim cp}=\frac{1}{\pi} \int_0^{\pi} \frac{[I_T(1+m \cos \varrho t)]^2 R}{2} d(\varrho t)$$

式中, R 表示高頻电流所流过的电阻。上式經過計算可得

$$P_{\sim cp}=\left(1+\frac{m^2}{2}\right) P_{\sim T} \quad (11-13)$$

当 $m=1$ 时

$$P_{\sim cp}=1.5 P_{\sim T} \quad (11-14)$$

不过, 我們也可以根据电工的基础理論——叠加定理来求電話功率 $P_{\sim cp}$ 。叠加定理指出: 不同頻率的电流在流过同一直綫性电路时, 完全互不相关, 它們产生的功率等于各电流所产生的功率的和。已知已調幅波可以看成由載頻电流和上、下旁頻电流組成, 因此平均功率等于載頻电流和上、下旁頻电流所产生的功率的和。即

$$P_{\sim cp}=P_{\sim T}+P_{\sim(\omega+\varrho)}+P_{\sim(\omega-\varrho)} \quad (11-15)$$

式中 $P_{\sim(\omega+\varrho)}$ 和 $P_{\sim(\omega-\varrho)}$ 分別表示上、下旁頻功率, 它們的和就称为旁頻功率, 用 $P_{\sim(\omega \pm \varrho)}$ 表示。

$$\begin{aligned}
 P_{\sim(\omega \pm \Omega)} &= P_{\sim(\omega + \Omega)} + P_{\sim(\omega - \Omega)} \\
 &= \frac{\left(\frac{m}{2} I_T\right)^2 R}{2} + \frac{\left(\frac{m}{2} I_T\right)^2 R}{2} = \frac{m^2}{4} I_T^2 R
 \end{aligned} \tag{11-16}$$

而载频功率为

$$P_{\sim_T} = \frac{I_T^2 R}{2} \tag{11-17}$$

所以，旁频功率为

$$P_{\sim(\omega \pm \Omega)} = \frac{m^2}{2} P_{\sim_T} \tag{11-18}$$

于是我們从式(11-15)可得

$$P_{\sim_{cp}} = \left(1 + \frac{m^2}{2}\right) P_{\sim_T} \tag{11-19}$$

它和上述由积分式求得的是一致的。

归纳起来，可以作出这样的结论：调幅时的电话功率（平均功率）是未调幅时的振盪功率（载频功率）的 $\left(1 + \frac{m^2}{2}\right)$ 倍，它又可以看成是载频功率和上、下旁频功率的和。

这个结论可利用来作为粗测调幅度的依据。

具体方法是：分别读出调幅时和未调幅时热耦式高频电流表的指示，求出比值 N 。按照功率与电流的平方成正比的关系，调幅时电流指示既然是未调幅时电流指示的 N 倍，则调幅时的功率是未调幅时的 N^2 倍，所以，

$$N^2 = 1 + \frac{m^2}{2}$$

调幅系数 m 即可由上式解得，(当然，负值无意义，弃去)

$$m = \sqrt{2(N^2 - 1)} \tag{11-19}$$